C11	E 856081.530 m
	N 159293.019 m
Ve11	E 855789.829 m
	N 160082.899 m
R	807.000 m
Sv	377.502 m
Ang	29.7801 c
Ti	58.009 m
Tc	29.008 m
Svc	87.000 m
m	0.391 m
AngF	3.4316 c
xf	86.975 m
yf	1.563 m
A	264.970
V	120 Km/h
D	130 mm
I	80.558 mm
E	36.419 mm
dD/dt	49.808 mm/s
dI/dt	30.865 mm
dD/dL	1.494 ‰
anc	0.527 (m/s²)

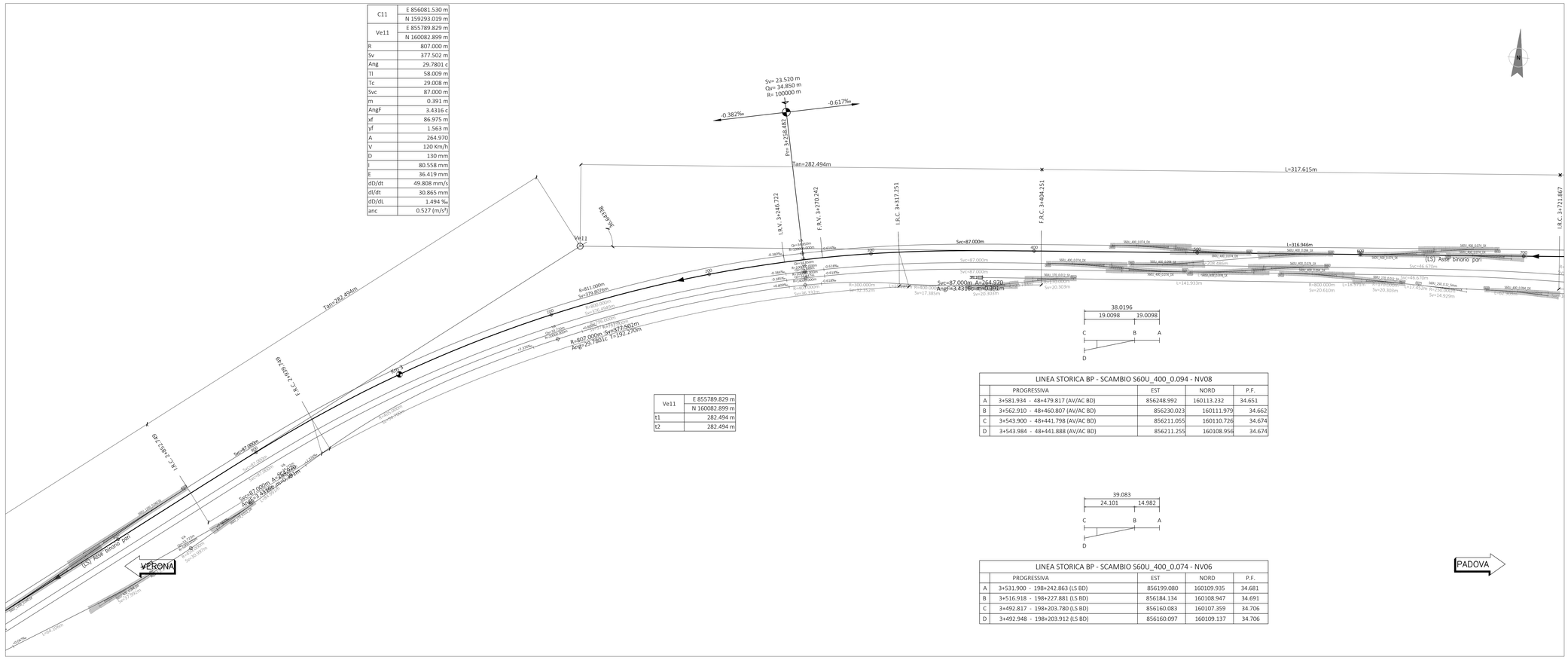

Ve11	E 855789.829 m
	N 160082.899 m
t1	282.494 m
t2	282.494 m

LINEA STORICA BP - SCAMBIO S60U_400_0.094 - NV08				
	PROGRESSIVA	EST	NORD	P.F.
A	3+581.934 - 48+479.817 (AV/AC BD)	856248.992	160113.232	34.651
B	3+562.910 - 48+460.807 (AV/AC BD)	856230.023	160111.979	34.662
C	3+543.900 - 48+441.798 (AV/AC BD)	856211.055	160110.726	34.674
D	3+543.984 - 48+441.888 (AV/AC BD)	856211.255	160108.956	34.674

LINEA STORICA BP - SCAMBIO S60U_400_0.074 - NV06				
	PROGRESSIVA	EST	NORD	P.F.
A	3+531.900 - 198+242.863 (LS BD)	856199.080	160109.935	34.681
B	3+516.918 - 198+227.881 (LS BD)	856184.134	160108.947	34.691
C	3+492.817 - 198+203.780 (LS BD)	856160.083	160107.359	34.706
D	3+492.948 - 198+203.912 (LS BD)	856160.097	160109.137	34.706

QUADRO D'UNIONE

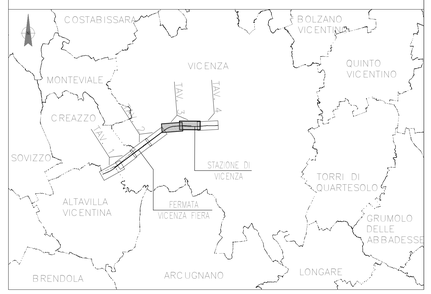

LEGENDA	
R(m)	Raggio curva
Ang(c)	Angolo curvatura
Ti(m)	Tangente lungo
Tc(m)	Tangente corto
Sv(m)	Sviluppo raccordo a raggio costante
Ir(mm)	Insufficienza sopraelevazione
Ic(mm)	Eccesso di sopraelevazione
Svc (m)	Sviluppo clotoide
m	Scostamento
yf	Ordinata del punto finale del raccordo clotoidico
xf	Ascissa del punto finale del raccordo clotoidico
Ang(c)	Angolo di deviazione del punto F
A	Parametro di scala
dD/dt(mm/s)	Rapporto di variazione della sopraelevazione
dI/dL(mm)	Rapporto di variazione dell'insufficienza di sopraelevazione
V(m/h)	Velocità
I(m)	Sopraelevazione

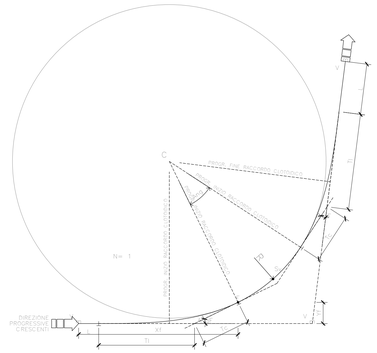
C
N= 1
PARTE CURVA
PARTE CURVA
PARTE CURVA